

СЗ49а
Ц-174

1452/2-76



СООБЩЕНИЯ
ОБЪЕДИНЕННОГО
ИНСТИТУТА
ЯДЕРНЫХ
ИССЛЕДОВАНИЙ
ДУБНА

19/1r-76

Р16 - 9481

Д.Цаппе, В.И.Цовбун

ОЦЕНКИ РАДИАЦИОННЫХ ПОЛЕЙ
ВБЛИЗИ ЗДАНИЙ ЭЛЕКТРОННЫХ УСКОРИТЕЛЕЙ
НА ЭНЕРГИИ 0,5-3 МэВ,
ОБРАЗОВАННЫХ ТОРМОЗНЫМ ИЗЛУЧЕНИЕМ,
ПРОШЕДШИМ ЧЕРЕЗ ЛЕГКИЕ
ПОТОЛОЧНЫЕ ПЕРЕКРЫТИЯ

1976

P16 - 9481

Д.Цаппе,* В.И.Цовбун

ОЦЕНКИ РАДИАЦИОННЫХ ПОЛЕЙ
ВБЛИЗИ ЗДАНИЙ ЭЛЕКТРОННЫХ УСКОРИТЕЛЕЙ
НА ЭНЕРГИИ 0,5-3 МэВ,
ОБРАЗОВАННЫХ ТОРМОЗНЫМ ИЗЛУЧЕНИЕМ,
ПРОШЕДШИМ ЧЕРЕЗ ЛЕГКИЕ
ПОТОЛОЧНЫЕ ПЕРЕКРЫТИЯ

* Технический университет, Дрезден, ГДР

При проектировании биологической защиты одним из критерииев ее достаточности является мощность дозы излучения на местности вблизи здания /1/. Однако из-за отсутствия информации о поле излучения вблизи зданий электронных ускорителей, образованного выходящим через потолок излучением, использование этого критерия для оценки достаточности защиты потолочного перекрытия затруднительно.

В настоящей работе решается задача прохождения тормозного излучения электронных ускорителей через легкие потолочные перекрытия и рассчитывается поле излучения на местности вблизи здания. В литературе подобная задача рассматривалась /2,3/ для изотопных источников гамма-излучения и ее часто называют "SKYSHINE".

Расчеты производились на ЭВМ CDC-6400 в приближении однократного рассеяния фотонов на пути от мишени к детектору. Геометрические условия расчета представлены на рис. 1. Тормозное излучение из мишени выходит через плоское потолочное перекрытие. Перекрытие считается тонким и не ослабляет излучения. Боковая защита предполагается достаточно толстой, чтобы считать, что излучение через нее не проходит в район расположения детекторов. Крыша здания разбита на 25 равных частей, каждая из которых образует элемент телесного угла, в который излучение выходит из мишени. Элементами воздушного рассеивателя над крышей являлись слои толщиной 2 м в пределах элемента телесного угла. Количества таких слоев равнялось 20. Детекторами излучения являлись сферические воздушные полости с единичной площадью большого сечения, расположенные на высоте 1 м от земли вдоль направления движения электронного

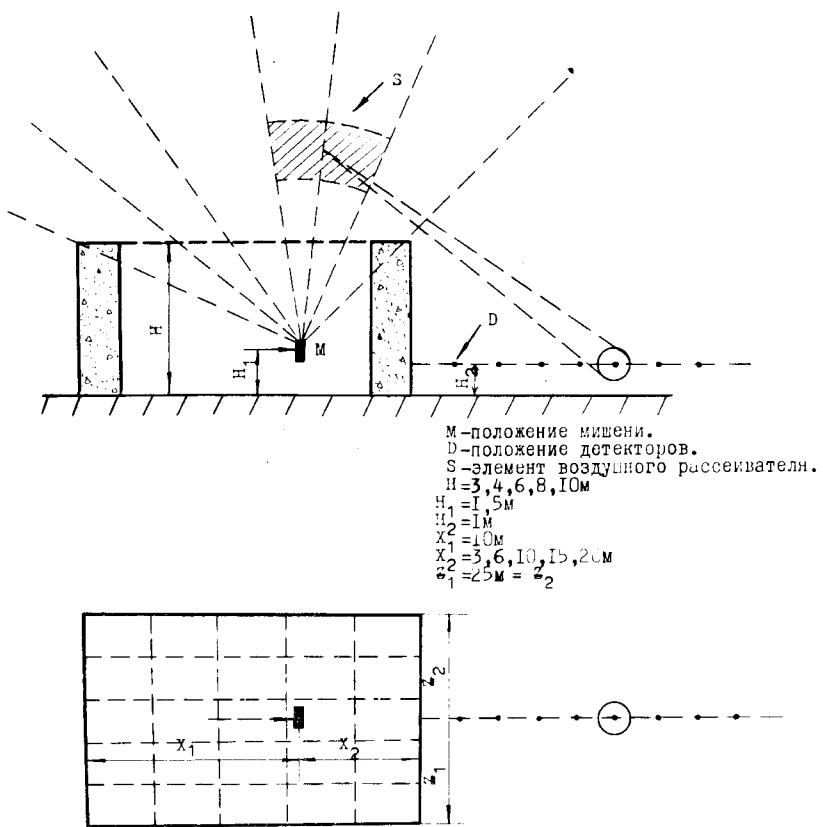


Рис. 1. Геометрические условия расчета, разрез и план здания.

пучка. Полагалось, что рассеиватель не вносит вклад в показание детектора, если из его центра не видно центра детектора, то есть если детектор затеняется стеной здания.

Информация о спектрально-угловом распределении выходящего из мишени тормозного излучения заимствовалась из работы^{/4/}. Энергетические спектры представлялись в десятигрупповом приближении, разбиение по углам - через 10°, мишени выбирались из тяжелых материалов Та-W-Au оптимальной толщины^{/4/}. Энергии электронного пучка составляли 0,5, 1, 1,5, 2 и 3 МэВ. Процесс рождения электрон-позитронных пар не учитывался.

Схема вычислений была следующей: рассчитывалось число квантов, вылетающих в элемент телесного угла $\Delta\Omega_m$ / м = 1,25/ в единицу времени с энергией в интервале ΔE_i ($i = 1, 10$)

$$N_{im}(E_i) \sim \frac{P(\theta_m) \cdot \eta(E_i)}{\mu_a(E_i) E_i} \cdot \Delta\Omega_m,$$

где $P(\theta_m)$ - угловое распределение мощности дозы тормозного излучения $E_i = \frac{E_0 \cdot i}{10}$, здесь E_0 - энергия электронного пучка, $\eta(E_i)$ - распределение дозы по энергетическим интервалам спектра тормозного излучения, $\mu_a(E_i)$ - коэффициент поглощения энергии в воздухе^{/5/}. Показанием детектора считалась сумма вкладов в показания всех элементов рассеивателя и энергетических интервалов спектра фотонов

$$D = K \sum_{m=1}^{25} \sum_{j=1}^{20} \sum_{i=1}^{10} N_{im}(E_i) \cdot \frac{d\sigma(E_i, \theta_s)}{d\omega} \cdot \Delta\omega_{jm} \cdot \Delta L \cdot E_{is} \cdot \mu_a(E_{is}),$$

где $\frac{d\sigma(E_i, \theta_s)}{d\omega}$ - угловое распределение рассеянного излучения, θ_s - угол рассеяния, $\Delta\omega_{jm}$ - телесный угол, под которым виден детектор из центра элемента рассеивателя, ΔL - толщина слоя элемента рассеивателя,

$$E_{is} = \frac{E_i}{1 + \frac{E_i}{m_0 c} (1 - \cos \theta_s)} - \text{энергия кванта после рассеяния},$$

K - коэффициент пропорциональности. Время расчета одного варианта составляло около 3 мин.

Результатами расчета являлись распределения мощностей доз излучения в 20 детекторах, расположенных

через 1 м за наружной поверхностью лобовой защитной стены здания /рис. 1/. На рис. 2 приведено распределение мощностей доз в абсолютных единицах для ускорителя на энергию 2 МэВ и конкретных геометрических условий. Форма кривой характерна для распределения поля излучения за защитным барьером и имеет явно выраженный максимум.

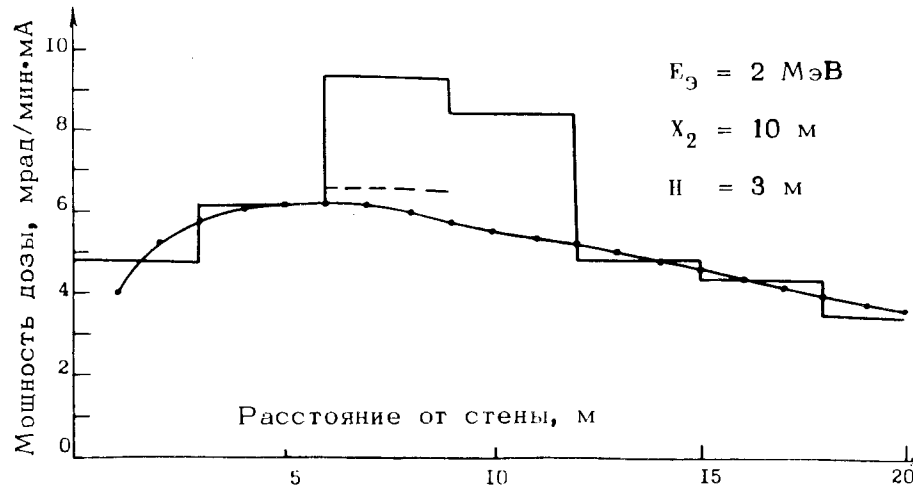


Рис. 2. Результаты расчетов поля излучения на местности вблизи здания в приближении однократного рассеяния и методом Монте-Карло /гистограмма/. Пунктир - вклад однократно рассеянных квантов в расчете методом Монте-Карло.

Величина мощности дозы в максимуме может служить критерием для оценки параметров ускорителя и размеров зданий, для которых нет необходимости сооружать специальную биологическую защиту в виде потолочного перекрытия. Действительно, из-за направленности тормозного излучения максимум мощности дозы в направлении движения пучка будет больше, чем в боковых направлениях и в направлении назад при соответствующих расстояниях до защитной стены.

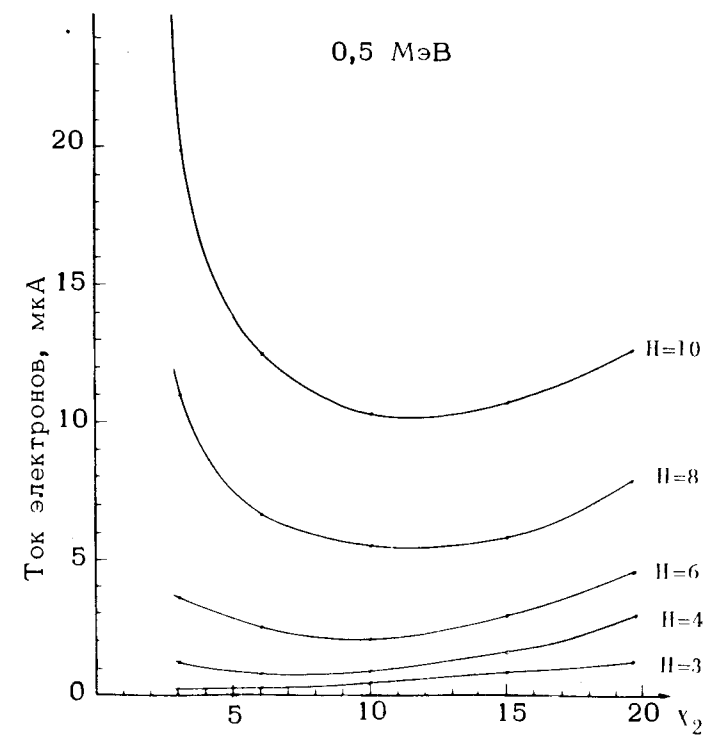


Рис. 3. Ток ускорителя и размеры зданий, при которых мощность дозы в максимуме составляет 0,1 мрад/час.

На рис. 3-7 представлены графики зависимости параметров ускорителя от размеров здания, при которых мощность дозы в максимуме составляет 0,1 мрад/час. На графиках точками указаны вычисленные значения, а кривые проведены на глаз.

Достоверность полученных результатов определяли сравнением с результатами расчетов методом Монте-Карло, который более подробно учитывает характер взаимодействия излучения с рассеивателем /рис. 2/. Результаты расчетов согласуются с точностью до коэффи-

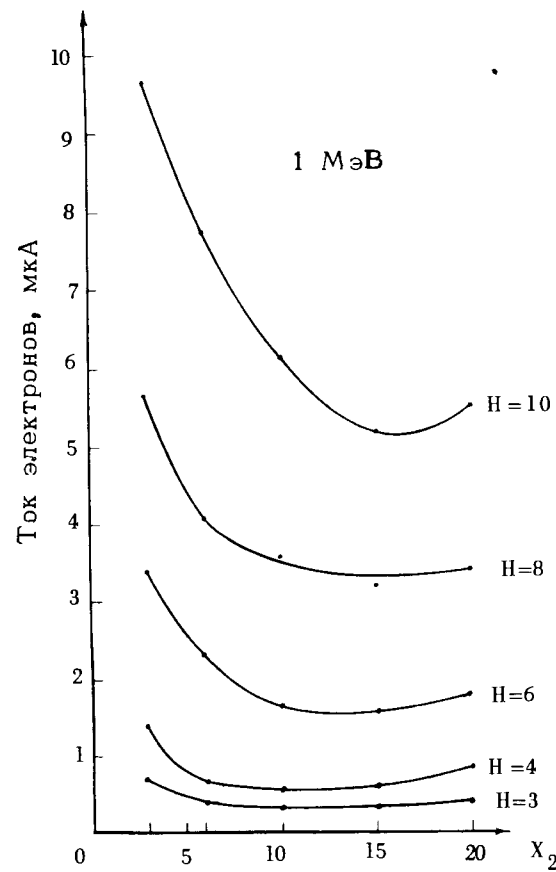


Рис. 4. Ток ускорителя и размеры зданий, при которых мощность дозы в максимуме составляет 0,1 мрад/час.

циента 1,5. Статистическая ошибка вычислений составляла не более 20%. В результатах расчета методом Монте-Карло были выделены однократно провзаимодействовавшие кванты. Их вклады в полную рассчитанную дозу в максимуме составил около 70%. В программе были приняты уже описанные выше допущения в геометрических условиях и во входной информации о спектрально-угловых

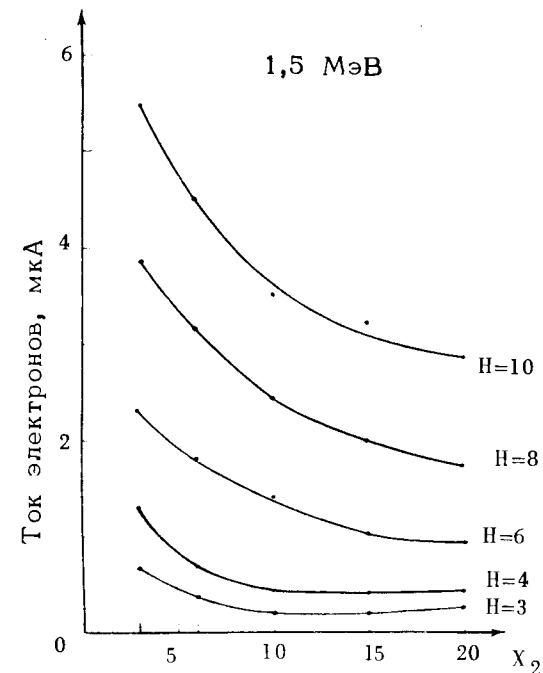


Рис. 5. Ток ускорителя и размеры зданий, при которых мощность дозы в максимуме составляет 0,1 мрад/час.

распределениях тормозного излучения, а также следующие дополнительные допущения: траектории квантов рассматривались в пространственном объеме, границы которого отстояли на 100 м от наружных поверхностей здания. Если траектория кванта пересекала стену здания, либо входила в землю, то квант считался поглощенным, максимальное количество рассеяний одного кванта ограничивалось 20, минимальная энергия - 10 кэВ.

Основные погрешности расчета в приближении однократного взаимодействия следующие: погрешности за счет дискретности разбиений - 80%, погрешность приближения однократного рассеяния - 30%, погрешность из-за боль-

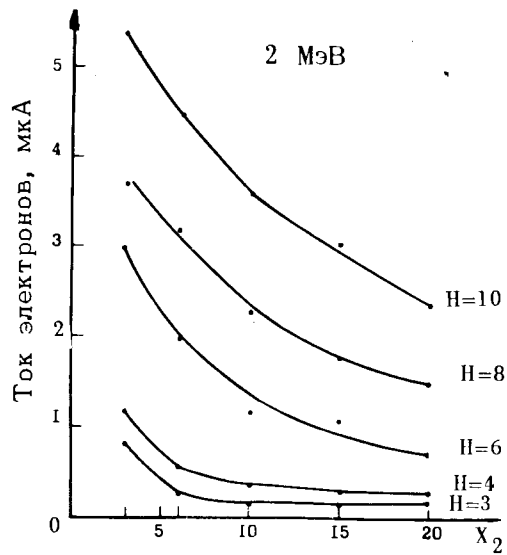


Рис. 6. Ток ускорителя и размеры зданий, при которых мощность дозы в максимуме составляет 0,1 мрад/час.

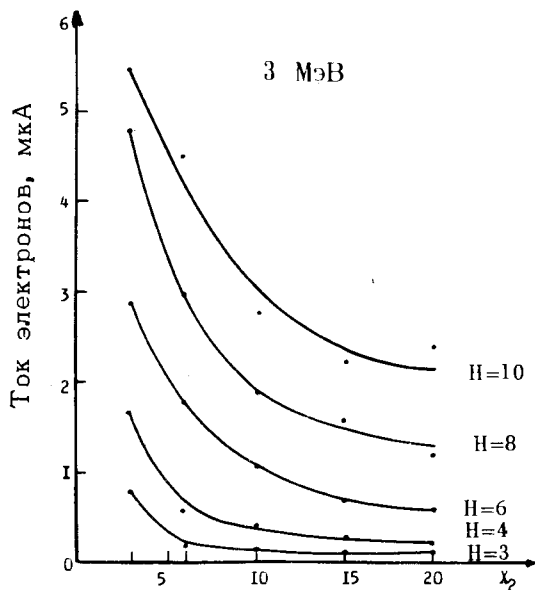


Рис. 7. Ток ускорителя и размеры зданий, при которых мощность дозы в максимуме составляет 0,1 мрад/час.

ших, чем в расчетах, размеров X_1 , Z_1 , Z_2 зданий и большем числе элементов рассеивателя - 30%. Таким образом, можно полагать, что точность произведенных расчетов оценивается фактором 2.

Авторы благодарят М.М.Комочкова за ценные советы и полезные дискуссии.

Литература

1. Основные санитарные правила работы с радиоактивными веществами и другими источниками ионизирующих излучений /ОСП-72/, Москва, 1972.
2. A.Bottino et al. *Health Phys.*, 17, 773-779 (1969).
3. T.B.Borak. ANL-75-30, pp. 73-74 (1975); *Health Phys.*, 29 (3), 423-425 (1975).
4. В.И.Цовбун. ОИЯИ, 16-7104, Дубна, 1973.
5. Руководство по радиационной защите для инженеров. Перевод с англ. под ред. Д.Л.Бродера и др., Москва, Атомиздат, 1972.

Рукопись поступила в издательский отдел
26 января 1976 года.